

# Взаимодействие фемтосекундного импульса р-поляризованного излучения с быстро нагреваемым металлом

С.Г.Бежанов, А.П.Канавин, С.А.Урюпин

*Количественно описано влияние быстрого неоднородного нагрева электронов на отражение импульса р-поляризованного излучения от металла. В условиях нормального и высокочастотного скин-эффектов выполнены численные расчеты коэффициента поглощения и сдвига фазы отраженной волны при облучении мишени из золота.*

*Ключевые слова:* фемтосекундный импульс, неоднородный нагрев электронов, коэффициент отражения.

## 1. Введение

В современных экспериментах по взаимодействию фемтосекундных импульсов лазерного излучения с металлами сравнительно просто реализуются условия, в которых за время воздействия импульса решетка остается относительно холодной, а электроны нагреваются за время, меньшее времени выноса тепла из скин-слоя (см., напр., [1–6]). В этих условиях изменяющаяся во времени температура электронов  $T_e(z, t)$  оказывается существенно неоднородной по скин-слою и значительно превышает температуру решетки  $T_{lat}(z, t)$ . Неоднородность температуры электронов приводит к неоднородностям частоты столкновений электронов  $\nu(z, t)$  и диэлектрической проницаемости металла  $\varepsilon(z, t)$ . Зависимость  $\varepsilon$  от координаты обуславливает необходимость пересмотра оптических свойств металла, описание которых обычно базируется на использовании формул Френеля [7]. В том случае, когда частота столкновений электронов  $\nu$  мала по сравнению с частотой лазерного излучения  $\omega$ , неоднородная часть диэлектрической проницаемости меньше однородной и для построения аналитического решения задачи об отражении и проникновении поля в металл можно использовать теорию возмущений. Такое приближенное описание коэффициента поглощения и сдвига фазы отраженной волны дано в работах [8, 9].

Вместе с тем в эксперименте возможны и противоположные условия: частота столкновений электронов  $\nu$  сравнима с частотой излучения и даже больше нее. Например, в оптическом диапазоне частот это имеет место при температуре электронов  $\sim 1$  эВ, а в ИК области частот – при заметно меньшей температуре. В настоящей работе рассматриваются оптические свойства металла, электроны которого быстро нагреваются до температуры, при которой  $\nu \gtrsim \omega$ . Изучаются типичные для эксперимента условия, когда на металл воздействуют два импульса излучения на одной и той же основной частоте.

Считается, что греющий импульс падает нормально на поверхность металла, а более слабый пробный импульс р-поляризованного излучения распространяется под углом  $\theta$  к нормали. Температуры электронов и решетки определяются из системы уравнений, в которой учитывается неоднородный нагрев металла при поглощении энергии греющего импульса в скин-слое. При этом в уравнении для поля учитывается зависимость диэлектрической проницаемости  $\varepsilon$  от координаты, возникающая из-за неоднородного нагрева электронов и решетки. Влиянием нагрева металла вследствие поглощения слабого пробного импульса р-поляризованного излучения пренебрегаем. Поле в металле, создаваемое импульсом р-поляризованного излучения, также определяется из уравнений Максвелла, в которых учитывается неоднородность  $\varepsilon$ . Затем находятся коэффициент поглощения  $A_p$  и сдвиг фазы  $\phi_p$  отраженной р-поляризованной волны.

Численные расчеты комплексного коэффициента отражения выполнены для мишени из золота. Показано, что при воздействии на нее излучения лазера на хромфорстерите предложенный в работе [9] способ аналитического описания дает значения  $A_p$ , близкие к результатам численного расчета. Напротив, при воздействии излучения СО<sub>2</sub>-лазера установленное нами изменение  $A_p$  во времени не описывается ни приближенными аналитическими формулами [9], ни формулами Френеля. Аналогичные результаты получены и для сдвига фазы отраженной волны  $\phi_p$ . Учет неоднородности  $\varepsilon$  в скин-слое при описании отражения импульсного р-поляризованного излучения столь же существен, как и при отражении s-поляризованного [10].

## 2. Металл в греющем поле

Для описания отклика металла на воздействие лазерного излучения с частотой  $\omega$  в условиях высокочастотного скин-эффекта можно представить диэлектрическую проницаемость в виде

$$\varepsilon = \varepsilon_0 - \frac{\omega_p^2}{\omega(\omega + i\nu)}, \quad (1)$$

где  $\varepsilon_0 = \varepsilon_0' + i\varepsilon_0''$  – вклад связанных электронов и решетки;  $\omega_p$  – плазменная частота. Отметим, что при высокочас-

С.Г.Бежанов, А.П.Канавин, С.А.Урюпин. Физический институт им. П.Н.Лебедева РАН, Россия, 119991 Москва, Ленинский просп., 53; e-mail: urypin@lebedev.ru

Поступила в редакцию 15 октября 2010 г., после доработки – 21 марта 2011 г.

тотном скин-эффекте длина свободного пробега электрона мала по сравнению с толщиной скин-слоя. Подобная аппроксимация диэлектрической проницаемости возможна и при нормальном скин-эффекте. Однако в этом случае для  $\nu$  следует использовать выражение, определяющее статическую проводимость металла. В чистых нормальных металлах частота столкновений электронов  $\nu$  в формуле (1) равна сумме частот столкновений электронов с фононами и электрон-электронных столкновений, происходящих с перебросом квазиимпульса. При температурах решетки  $T_{\text{lat}}$ , больших температуры Дебая  $\Theta_D$ , частота электрон-фононных столкновений  $\nu_{\text{ep}}$  пропорциональна  $T_{\text{lat}}$ . Когда тепловая энергия электронов  $k_B T_e$  меньше энергии Ферми  $\varepsilon_F$ , частота электрон-электронных столкновений  $\nu_{\text{ee}}$  квадратично зависит от температуры электронов [11]. Таким образом,

$$\nu = \nu_{\text{ep}} + \nu_{\text{ee}} \simeq \nu_{\text{ep}}(T_0) \frac{T_{\text{lat}}}{T_0} + a \frac{k_B^2 T_e^2}{\hbar \varepsilon_F}, \quad (2)$$

$$T_{\text{lat}} \gg \Theta_D, \quad k_B T_e \ll \varepsilon_F,$$

где  $k_B$  – постоянная Больцмана;  $\hbar$  – постоянная Планка;  $a$  – численный коэффициент, зависящий от вида зонной структуры металла;  $T_0$  – исходная температура металла.

Согласно приведенным выше соотношениям диэлектрическая проницаемость (1) неоднородна вследствие неоднородности частоты столкновений  $\nu$  (2). Неоднородность  $\nu$  является следствием неоднородностей температур решетки ( $T_{\text{lat}}$ ) и электронов ( $T_e$ ), возникающих из-за относительно быстрого нагрева электронов и решетки при поглощении фемтосекундного лазерного импульса в скин-слое. Для типичных металлов время передачи энергии от электронов к решетке составляет несколько пикосекунд, поэтому температура решетки остается меньше температуры электронов на протяжении всего времени воздействия фемтосекундного импульса. Для описания такого неравновесного состояния используется система уравнений для температур электронов и решетки. В уравнении для температур электронов учитывается их нагрев из-за поглощения в скин-слое поля, создаваемого греющим импульсом, охлаждение из-за передачи энергии решетке и изменение их температуры вследствие переноса тепла из скин-слоя в глубь металла [12]:

$$C_e \frac{\partial T_e}{\partial t} - \frac{\partial}{\partial z} \left( \lambda \frac{\partial T_e}{\partial z} \right) = \frac{\omega_p^2}{8\pi} \frac{\nu}{\omega^2 + \nu^2} |E_h|^2 - G(T_e - T_{\text{lat}}), \quad (3)$$

где  $C_e \equiv C_e(z, t) = \pi^2 N k_B^2 T_e / (2\varepsilon_F)$  – теплоемкость электронов с концентрацией  $N$ ;  $\lambda \equiv \lambda(z, t) = C_e v_F^2 / [3\nu_\lambda(z, t)]$  – коэффициент теплопроводности;  $E_h \equiv E_h(z, t)$  – комплексная амплитуда напряженности поглощаемого поля;  $G$  – константа связи электронов с решеткой;  $v_F$  – скорость Ферми;  $\nu_\lambda(z, t)$  – частота столкновений электронов, определяющая  $\lambda$ . Эффективные частоты электрон-фононных и электрон-электронных столкновений, входящие в  $\nu_\lambda$ , отличаются от тех, которые определяют проводимость, но имеют ту же зависимость от температур:

$$\nu_\lambda = \nu_{\text{ep}\lambda}(T_0) \frac{T_{\text{lat}}}{T_0} + b \frac{k_B^2 T_e^2}{\hbar \varepsilon_F}, \quad (4)$$

где  $b \neq a$ . Отметим, что при использовании в уравнении (3) упрощенного выражения для поглощаемой мощности

при  $\nu < \omega$  для  $\nu$  следует использовать величину, определяющую высокочастотную проводимость, а при  $\nu > \omega$  – ту величину, которая определяет статическую проводимость. Изменение температуры решетки описывается уравнением [13], в котором учитывается ее нагрев при передаче энергии от электронов:

$$C_{\text{lat}} \frac{\partial T_{\text{lat}}}{\partial t} = G(T_e - T_{\text{lat}}), \quad (5)$$

где  $C_{\text{lat}}$  – теплоемкость решетки, для которой при  $T_{\text{lat}} > \Theta_D$  возможна оценка  $C_{\text{lat}} \simeq 3k_B N_a$ ;  $N_a$  – концентрация атомов решетки. Температура решетки считается малой по сравнению с температурой плавления. Поле в металле находится из уравнений Максвелла, в которых учитывается неоднородность диэлектрической проницаемости металла (1). При этом для медленно изменяющейся за время  $2\pi/\omega$  амплитуды поля  $E_h$  имеем уравнение

$$\frac{d^2 E_h}{dz^2} + k^2 \varepsilon E_h = 0, \quad z > 0 \quad (6)$$

с граничными условиями

$$\left( \frac{1}{ik} \frac{dE_h}{dz} + E_h \right) \Big|_{z=0} = 2E_{\text{pump}}(t), \quad E_h(z \rightarrow \infty, t) = 0, \quad (7)$$

где  $k = \omega/c$ ;  $c$  – скорость света;  $E_{\text{pump}}(t)$  – действительная амплитуда напряженности поля, которая слабо изменяется за время  $2\pi/\omega$  и связана с плотностью потока греющего импульса  $I_{\text{pump}}(t) = (c/8\pi) E_{\text{pump}}^2(t)$ . Отметим, что в (6) и (7) опущены малые производные  $E_h$  по времени. Приведенные в этом разделе уравнения составляют основу для описания поведения характеристик неравновесного металла в греющем электромагнитном поле. При этом предполагается, что распределение электронов по энергии можно аппроксимировать распределением Ферми, но с температурой, большей температуры решетки, причем понятие температуры решетки имеет смысл. Влиянием эмиссии электронов пренебрегаем, считая температуру электронов, много меньшей работы выхода.

### 3. Воздействие импульсного р-поляризованного излучения

Структура поля, создаваемого пробным импульсом излучения, зависит от его поляризации. Рассмотрим взаимодействие лазерного импульса р-поляризованного пробного электромагнитного излучения с металлом, нагреваемым импульсом накачки и занимающим полупространство  $z > 0$ .

Магнитное поле р-поляризованной волны представим в виде

$$\frac{1}{2} \mathbf{B}_i \exp(-i\omega t + i\mathbf{k}_i \mathbf{r}) + \text{компл. сопр.}, \quad z < 0, \quad (8)$$

где  $\mathbf{B}_i = (0, B_i, 0)$  слабо изменяется за время  $2\pi/\omega$ ;  $\mathbf{k}_i = k(\sin \theta, 0, \cos \theta)$ ;  $\theta$  – угол между вектором  $\mathbf{k}_i$  и осью  $z$  (рис.1). Волна (8) отражается от поверхности  $z = 0$  и проникает внутрь металла. Поле отраженной в направлении  $\mathbf{k}_r$  ( $|\mathbf{k}_i| = |\mathbf{k}_r| = k$ ) волны представим в виде

$$\frac{1}{2} \mathbf{B}_r \exp(-i\omega t + ikx \sin \theta - ikz \cos \theta) + \text{компл. сопр.}, \quad z < 0, \quad (9)$$

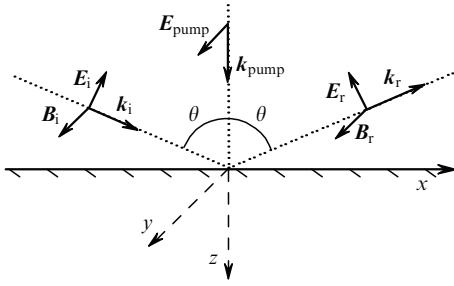


Рис.1. Схема взаимодействия импульсов с металлом.

где  $\mathbf{B}_r = R_p \mathbf{B}_i$ ;  $R_p$  – комплексный коэффициент отражения. Поле в металле ищем в виде

$$\frac{1}{2} \mathbf{B} \exp(-i\omega t + ikx \sin \theta) + \text{компл. сопр.}, \quad z > 0, \quad (10)$$

$$\frac{1}{2} \mathbf{E} \exp(-i\omega t + ikx \sin \theta) + \text{компл. сопр.}, \quad z > 0, \quad (11)$$

где

$$\mathbf{B} = (0, B(z, t), 0) \equiv (0, B, 0);$$

$$\mathbf{E} = ((ik\varepsilon)^{-1} dB/dz, 0, -B \sin \theta/\varepsilon).$$

Функции  $\mathbf{E}$ ,  $\mathbf{B}_r$ ,  $\mathbf{B}$  слабо изменяются за время  $2\pi/\omega$ , что обусловлено изменением  $\mathbf{B}_i$  и температур электронов и решетки, которое приводит к эволюции диэлектрической проницаемости  $\varepsilon$  (1). В соответствии с уравнениями Максвелла распределение  $B(z, t)$  в металле описывается уравнением

$$\frac{d}{dz} \left( \frac{1}{\varepsilon} \frac{dB}{dz} \right) + k^2 \left( 1 - \frac{\sin^2 \theta}{\varepsilon} \right) B = 0, \quad z > 0. \quad (12)$$

Электрическое и магнитное поля непрерывны на поверхности  $z = 0$ :

$$B_i \cos \theta (1 - R_p) = \frac{1}{ik\varepsilon} \frac{dB}{dz} \Big|_{z=0}, \quad (13)$$

$$B_i (1 + R_p) = B(z = 0, t). \quad (14)$$

Из (13), (14) находим граничное условие на поверхности металла

$$\left( \frac{1}{ik\varepsilon} \frac{dB}{dz} + B \cos \theta \right) \Big|_{z=0} = 2B_i \cos \theta \quad (15)$$

и комплексный коэффициент отражения

$$R_p = -1 + \frac{B(z = 0, t)}{B_i} \equiv r_p \exp(i\phi_p), \quad (16)$$

где  $r_p$  – абсолютная величина коэффициента отражения;  $\phi_p$  – сдвиг фазы отраженной волны. Величина  $r_p$  связана с коэффициентом поглощения  $A_p$ :  $A_p = 1 - r_p^2$ .

В уравнении (12) диэлектрическая проницаемость изменяется во времени вследствие нагрева электронов греющим импульсом. Поэтому  $B$  и комплексный коэффициент отражения  $R_p$  (16) тоже изменяются во времени. Для установления зависимости от времени диэлектрической проницаемости  $\varepsilon$  необходимо решить совместно уравнения для температур (3), (5) и для поля  $E_h$  (6), создавае-

мого греющим импульсом. Далее с использованием найденной функции  $\varepsilon$  из уравнения (12) определяются поле  $B$ , коэффициент поглощения и сдвиг фазы отраженной пробы волны.

В случае  $v \ll \omega$  уравнение (12) допускает приближенное аналитическое решение. При этом с точностью до членов второго порядка малости по  $v/\omega$  для диэлектрической проницаемости (1) имеем

$$\varepsilon \simeq \varepsilon_1 + \delta\varepsilon_1 + i\varepsilon_2, \quad (17)$$

где

$$\varepsilon_1 = \varepsilon_0' - \frac{\omega_p^2}{\omega^2}; \quad \varepsilon_2 = \varepsilon_0'' + \frac{v\omega_p^2}{\omega^3}; \quad \delta\varepsilon_1 = \frac{v^2\omega_p^2}{\omega^4}. \quad (18)$$

В таком приближении, следуя работе [9], из (12)–(16) находим коэффициент поглощения

$$A_p = \frac{2 \cos \theta}{\sqrt{\sin^2 \theta - \varepsilon_1}} \frac{2 \sin^2 \theta - \varepsilon_1}{\varepsilon_1^2 \cos^2 \theta - \varepsilon_1 + \sin^2 \theta} \langle \varepsilon_2 \rangle \quad (19)$$

и сдвиг фазы отраженной волны

$$\begin{aligned} \tan \phi_p &= \left( -\frac{2\varepsilon_1 \cos \theta \sqrt{\sin^2 \theta - \varepsilon_1}}{\varepsilon_1^2 \cos^2 \theta - \sin^2 \theta + \varepsilon_1} \right) \\ &\times \left\{ 1 - \frac{\langle \varepsilon_2 \rangle^2}{8\varepsilon_1^2} \left( \frac{2 \sin^2 \theta - \varepsilon_1}{\sin^2 \theta - \varepsilon_1} \right)^2 - \frac{\varepsilon_1^2 \cos^2 \theta + \sin^2 \theta - \varepsilon_1}{\varepsilon_1^2 \cos^2 \theta - \sin^2 \theta + \varepsilon_1} \right. \\ &\times \left[ \frac{\langle \delta\varepsilon_1 \rangle}{2\varepsilon_1} \frac{2 \sin^2 \theta - \varepsilon_1}{\sin^2 \theta - \varepsilon_1} + \frac{\langle \varepsilon_2^2 \rangle}{2\varepsilon_1^2} \frac{\sin^2 \theta}{\sin^2 \theta - \varepsilon_1} \right. \\ &\left. \left. - \frac{\langle \Xi_2^2 \rangle}{4\varepsilon_1} \frac{2 \sin^2 \theta - \varepsilon_1}{(\sin^2 \theta - \varepsilon_1)^2} \right] \right\}. \quad (20) \end{aligned}$$

В формулах (19), (20) использованы следующие обозначения:

$$\langle \varepsilon_2 \rangle = \frac{2}{d} \int_0^\infty dz \varepsilon_2(z) \exp\left(-\frac{2z}{d}\right), \quad (21)$$

$$\langle \delta\varepsilon_1 \rangle = \frac{2}{d} \int_0^\infty dz \delta\varepsilon_1(z) \exp\left(-\frac{2z}{d}\right), \quad (22)$$

$$\begin{aligned} \langle \Xi_2^2 \rangle &= \frac{4}{d} \int_0^\infty dz \exp\left(-\frac{2z}{d}\right) \Xi^2(z) \\ &= \frac{4}{d^3} \int_0^\infty dz \exp\left(-\frac{2z}{d}\right) \left[ \int_0^z dz' \varepsilon_2(z') \right]^2, \quad (23) \end{aligned}$$

$$\langle \varepsilon_2^2 \rangle = \frac{2}{d} \int_0^\infty dz \varepsilon_2^2(z) \exp\left(-\frac{2z}{d}\right), \quad (24)$$

где  $d$  – эффективная глубина проникновения р-поляризованной волны ( $(kd)^{-2} = \sin^2 \theta - \varepsilon_1 > 0$ ).

Отметим, что соотношение (20) следует из формулы (42) работы [9], если при упрощении последней для функции  $b(z)$  из [9] использовать выражение (34) из [9], в котором перед третьим слагаемым, содержащим производные  $\delta\varepsilon_1'(z)$  и  $\varepsilon_2'(z)$ , стоит знак минус, а не плюс. Исправление знака в формуле (34) из [9] приводит к изме-

нению выражения (50) из [9], полученного в предположении, что в уравнении (3) можно пренебречь выносом тепла из скин-слоя и передачей энергии от электронов к решетке. В этих условиях, при  $\omega \gg v$  и  $kd \ll 1$  из (2), (3) и (7) имеем [9]

$$\frac{v(z, t)}{v(t_0)} = \exp \left[ \alpha \exp \left( -\frac{2z}{d} \right) \right],$$

$$\alpha \equiv \alpha(t) = \frac{16ad^2\omega_p^2}{\pi^2 N \hbar c^3} \int_{-\infty}^t dt' I(t').$$
(25)

Принимая во внимание соотношения (18) и (25), из (21)–(24) находим

$$\langle \varepsilon_2 \rangle = \varepsilon_2(T_0) \frac{1}{\alpha} (e^\alpha - 1), \quad \langle \varepsilon_2^2 \rangle = \varepsilon_2^2(T_0) \frac{1}{2\alpha} (e^{2\alpha} - 1),$$

$$\langle \delta \varepsilon_1 \rangle = \delta \varepsilon_1(T_0) \frac{1}{2\alpha} (e^{2\alpha} - 1),$$
(26)

$$\langle \Xi_2^2 \rangle = \varepsilon_2^2(T_0) \frac{1}{\alpha} \int_0^\alpha \frac{dx}{x} (e^{2x} - e^x),$$

где  $\varepsilon_2(T_0)$  и  $\delta \varepsilon_1(T_0)$  – значения  $\varepsilon_2$  и  $\delta \varepsilon_1$  при температуре  $T_0$ . Подставив выражения (26) в формулу (20), приходим к видоизмененной формуле (50) из [9]. При этом изменяется и рис.3 из [9]. Однако указанные количественные изменения не приводят к изменению основного утверждения в [9] о невозможности использовать формулы Френеля в условиях неоднородного нагрева электронов в скин-слое.

#### 4. Физические характеристики золота

С целью последующего описания взаимодействия фемтосекундных импульсов с мишенью из золота приведем данные некоторых экспериментов и справочников. Согласно [14] концентрация электронов проводимости  $N$ , имеющих эффективную массу  $m = 0.91 \times 10^{-27}$  г [15], составляет  $5.9 \times 10^{22}$  см<sup>-3</sup>. При этом энергия Ферми  $\varepsilon_F \simeq 5.5$  эВ, скорость Ферми  $v_F \simeq 1.4 \times 10^8$  см/с [16], а плазменная частота  $\omega_p = 1.37 \times 10^{16}$  с<sup>-1</sup>. При комнатной температуре  $T_0 = 300$  К частоты столкновений электронов с фононами  $v_{ep}(T_0) \simeq 0.93 \times 10^{14}$  с<sup>-1</sup> [15] и  $v_{ep\lambda}(T_0) \simeq 3.7 \times 10^{13}$  с<sup>-1</sup> [17] значительно превышают частоты электрон-электронных столкновений. Теплоемкость решетки  $C_{lat} \simeq 2.5 \times 10^7$  эрг·К<sup>-1</sup>·см<sup>-3</sup> [18], константа связи электронов с решеткой  $G \simeq 3.5 \times 10^{10}$  Вт·К<sup>-1</sup>·см<sup>-3</sup> [19].

Согласно [10] расчеты сдвига фазы отраженной волны и коэффициента поглощения весьма чувствительны к величине  $\varepsilon_0 = \varepsilon'_0 + i\varepsilon''_0$ . Для определения  $\varepsilon'_0$  и  $\varepsilon''_0$  воспользуемся экспериментальными данными работы [15], полученными при  $\omega \gg v$ . Из соотношения (1) следует, что

$$\varepsilon = \varepsilon'_0 - \frac{\omega_p^2}{\omega^2 + v^2} + i \left[ \varepsilon''_0 + \frac{v\omega_p^2}{\omega(\omega^2 + v^2)} \right].$$
(27)

В [15] затабулированы значения действительной и мнимой частей показателя преломления  $n_T + ik_T = \sqrt{\varepsilon}$ , измеренные для золота чистотой 99.99 % при комнатной температуре. Для действительной и мнимой частей диэлектрической проницаемости, определяемых решеткой и связанными электронами, имеем выражения

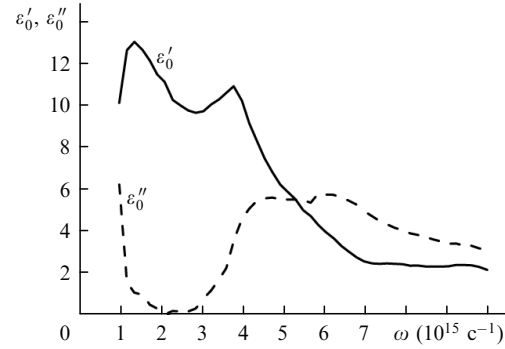


Рис.2. Зависимость от частоты действительной ( $\varepsilon'_0$ ) и мнимой ( $\varepsilon''_0$ ) частей диэлектрической проницаемости  $\varepsilon_0$  золота.

$$\varepsilon'_0 = n_T^2 - k_T^2 + \frac{\omega_p^2}{\omega^2 + v^2},$$
(28)

$$\varepsilon''_0 = 2n_T k_T - \frac{v\omega_p^2}{\omega(\omega^2 + v^2)}.$$
(29)

Результаты вычислений по формулам (28) и (29) представлены на рис.2. Следует отметить, что в [15] экспериментальные данные приведены в диапазоне длин волн 0.8–8 мкм. Это позволяет провести относительно точные расчеты в условиях воздействия на золото излучения лазера на хром-форстерите с длиной волны  $\sim 1.25$  мкм. Для больших длин волн данные отсутствуют. Однако при  $\omega_p^2 \gg \omega^2 + v^2$  вклад  $\varepsilon_0$  в диэлектрическую проницаемость (1) мал. Последнее обстоятельство позволяет, в частности, обсуждать воздействие ИК излучения на золото, не имея достаточно полной информации о величине  $\varepsilon_0$ .

#### 5. Результаты численных расчетов

Остановимся на численном решении уравнений для полей и температур в случае воздействия на металл импульса накачки, у которого плотность потока излучения изменяется во времени по закону  $I_{\text{pump}}(t) = I_{\text{pump}} \times \exp(-t^2/t_p^2)$ , а параметр  $t_p$  связан с длительностью импульса  $\tau_p$ , определяемой по полувысоте функции  $I_{\text{pump}}(t)$ , соотношением  $\tau_p = 2t_p \ln 2$ . Отвечающие воздействию такого импульса результаты численного решения уравнений (3), (5), (6) и (12) приведены на рис.3–5. Расчет выполнен для греющего импульса лазера на хром-форстерите с частотой излучения  $\omega = 1.5 \times 10^{15}$  с<sup>-1</sup>. Параметры греющего импульса были следующими:  $I_{\text{pump}} = 10^{13}$  Вт/см<sup>2</sup>,  $t_p = 18$  фс ( $\tau_p = 30$  фс). Пробный импульс того же лазера падает на металл под углом к нормали  $\theta = \pi/4$ . Для золота, согласно рис.2, имеем  $\varepsilon'_0 \simeq 11$ ,  $\varepsilon''_0 \simeq 1.17$ . В соответствии с результатами работы [12] были выбраны константы  $a = 1$ ,  $b = 2$ . Начальные температуры решетки и электронов считаются одинаковыми:  $T_e(z, t \rightarrow -\infty) = T_{lat}(z, t \rightarrow -\infty) = T_0 = 300$  К.

На рис.3 приведены зависимости частоты столкновений, а также температур электронов и решетки на поверхности металла от времени. Температура электронов возрастает до  $\sim 1.5 \times 10^4$  К, а затем монотонно убывает. В этом же временном интервале температура решетки монотонно возрастает до 330 К. В процессе воздействия импульса частота столкновений электронов изменяется в основном из-за изменения их температуры. Согласно рис.3 отношение  $v/\omega$  остается сравнительно малым, но



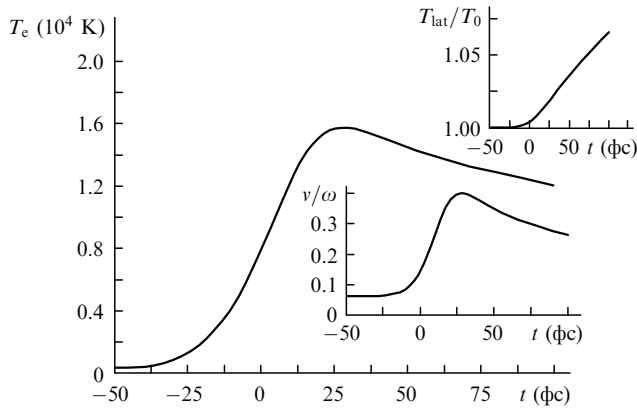


Рис.3. Эволюция во времени температуры электронов  $T_e = T_e(z=0, t)$  на поверхности металла при нагреве излучением лазера на хром-форстерите. На вставках приведены временные зависимости температуры решетки  $T_{\text{lat}} = T_{\text{lat}}(z=0, t)$  и частоты столкновений электронов  $v = v(z=0, t)$ .

возрастает примерно в шесть раз по сравнению с исходным значением. Возникающая при этом неоднородность диэлектрической проницаемости приводит к отличиям коэффициента поглощения и сдвига фазы отраженной волны от их значений  $A_{\text{pF}}$  и  $\phi_{\text{pF}}$ , вычисленных по формулам Френеля:

$$R_{\text{pF}} = -1 + \frac{2k\varepsilon \cos \theta}{k\varepsilon \cos \theta + ik} \equiv r_{\text{pF}} \exp(i\phi_{\text{pF}}), \quad (30)$$

$$A_{\text{pF}} = 1 - r_{\text{pF}}^2,$$

где  $\varepsilon$  и  $\kappa = \kappa_1 - i\kappa_2 = k\sqrt{\sin^2 \theta - \varepsilon}$  находятся с использованием значений температур на поверхности металла. Поскольку в рассматриваемых условиях отношение  $v/\omega$  остается малым, то для описания результатов расчета можно воспользоваться приближенными соотношениями (19)–(24).

На рис.4 приведены зависимости коэффициента поглощения от времени, отвечающие численному решению уравнений (3), (5), (6) и (12), расчету по формулам Френеля (30) и формуле (19). Согласно рис.4 формулы Френеля дают завышенное значение коэффициента поглощения (в максимуме поглощения – на 60 %). В отличие от

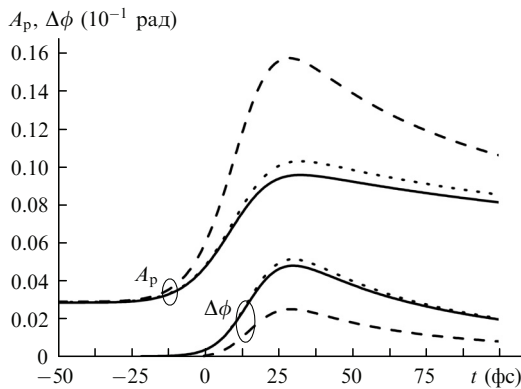


Рис.4. Эволюция во времени коэффициента поглощения  $A_p$  и сдвига фазы  $\Delta\phi$  отраженной волны при воздействии излучения лазера на хром-форстерите на мишень из золота. Сплошные кривые – численное решение уравнений (3), (5), (6) и (12), штриховые – расчет по формулам Френеля (30), пунктирные – расчет по приближенным формулам (19), (20).

работ [8, 9], выражение (18) для  $\varepsilon_2$  содержит малую добавку  $\varepsilon_0''$  к мнимой части  $\varepsilon_0$ . На начальной стадии нагрева, когда  $v/\omega \simeq 0.06$ , удержание  $\varepsilon_0''$  повышает точность расчета  $A_p$  на 20 %. В максимуме температуры  $v/\omega \simeq 0.4$  и вклад  $\varepsilon_0''$  составляет 3 %. Из рис.4 видно, что пунктирная кривая, соответствующая расчету по формуле (19), почти сливается со сплошной кривой, иллюстрирующей результаты более точного численного расчета. Данные расчетов сдвига фазы  $\Delta\phi(t) = \phi_p(t) - \phi_p(t \rightarrow -\infty)$  отраженной волны также представлены на рис.4. Видно, что формула (20) описывает сдвиг фазы с достаточно высокой точностью. Ее можно использовать для обработки данных эксперимента, если  $-\varepsilon_1 \gg \max[1, \langle \varepsilon_2 \rangle, \langle \delta\varepsilon_1 \rangle]$ . При  $-\varepsilon_1 \gg \langle \varepsilon_2 \rangle$  хорошую точность дает и формула (19) для коэффициента поглощения. Указанные неравенства выполняются, если частота излучения  $\omega$  много меньше плазменной частоты электронов  $\omega_p$ , но значительно превышает их частоту столкновений. Отметим, что в этом диапазоне частот малые изменения сдвига фазы весьма чувствительны к точности задания величин  $\varepsilon_0'$  и  $\varepsilon_0''$ . Последнее следует учитывать при обработке экспериментальных данных по сдвигу фазы.

Неравенство  $v \ll \omega$  может нарушаться. В частности, это возможно при взаимодействии с мишенью из золота греющего электроны фемтосекундного импульса излучения СО<sub>2</sub>-лазера с частотой  $\omega \simeq 1.8 \times 10^{14} \text{ c}^{-1}$ . При этом в процессе нагрева происходит переход от условия  $v \ll \omega$  к противоположному. При  $v \ll \omega$  для диэлектрической проницаемости справедливы соотношения (17), (18), а при  $v \gg \omega$  имеем (ср. с формулой (1))

$$\varepsilon \simeq \varepsilon_0 + i \frac{\omega_p^2}{\omega v_\lambda}. \quad (31)$$

В соответствии с законом Видемана – Франца при записи формулы (31) принято, что проводимость и теплопроводность зависят от одной и той же частоты столкновений  $v_\lambda$  (4). Поскольку при переходе от малых частот столкновений к большим  $v_\lambda \sim v \sim \omega$ , то для  $\varepsilon$  возможна аппроксимация

$$\varepsilon \simeq \varepsilon_0 - \frac{\omega_p^2}{\omega^2 + vv_\lambda} + iv \frac{\omega_p^2}{\omega(\omega^2 + vv_\lambda)}. \quad (32)$$

При использовании соотношения (32) изменяется и вид первого слагаемого в правой части уравнения (3). Теперь для описания нагрева из-за поглощения переменного поля следует применять выражение вида

$$\frac{\omega_p^2}{8\pi} \frac{v}{\omega^2 + vv_\lambda} |\mathbf{E}_h|^2. \quad (33)$$

Соотношения (32), (33) дают наибольшую погрешность при  $\omega^2 \sim vv_\lambda$ . Однако, если временной интервал, в котором  $\omega^2 \sim vv_\lambda$ , много меньше длительности лазерного импульса, то влияние такой погрешности на приводимые далее зависимости в области  $v_\lambda > \omega$  в значительной мере ослаблено.

Входящие в формулы (32), (33) частоты столкновений  $v$  (2) и  $v_\lambda$  (4) зависят от параметров  $a$  и  $b$ . Эта зависимость проявляется при температурах электронов, превышающих несколько тысяч градусов Кельвина, когда основной вклад в  $v$  (2) и  $v_\lambda$  (4) дают электрон-электронные столкновения. Поскольку параметр  $b$  известен с недостаточной

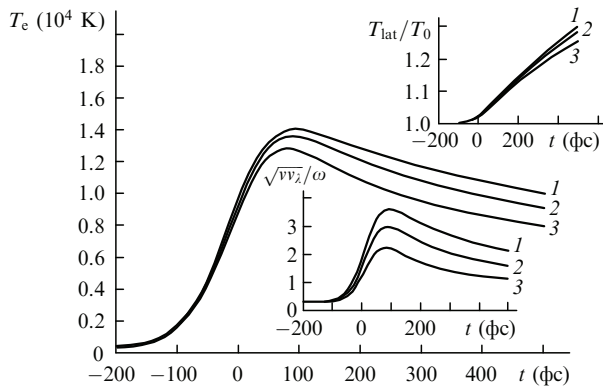


Рис.5. Эволюция во времени температуры электронов  $T_e = T_e(z=0, t)$  на поверхности металла при нагреве излучением  $\text{CO}_2$ -лазера для  $b = 2$  (1), 1.5 (2) и 1 (3). На вставках приведены временные зависимости температуры решетки  $T_{\text{lat}} = T_{\text{lat}}(z=0, t)$  и характерной частоты столкновений электронов  $\sqrt{v v_\lambda} = \sqrt{v(z=0, t) v_\lambda(z=0, t)}$ .

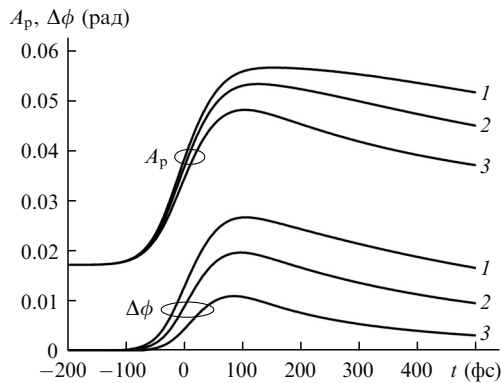


Рис.6. Эволюция во времени коэффициента поглощения  $A_p$  и сдвига фазы  $\Delta\phi$  отраженной волны при воздействии излучения  $\text{CO}_2$ -лазера на мишень из золота для  $b = 2$  (1), 1.5 (2) и 1 (3).

точностью, то в случае нагрева электронов и отражения излучения  $\text{CO}_2$ -лазера расчеты были выполнены для нескольких  $b$ , близких к значению, установленному в [12] при обработке экспериментальных данных [4].

Результаты расчетов эволюции температур, частоты столкновений, коэффициента поглощения и сдвига фазы отраженной волны приведены ниже для импульса с длительностью  $t_p = 60$  фс и плотностью потока  $I_{\text{pump}} = 6 \times 10^{12}$  Вт/см<sup>2</sup>. Характеристики золота те же, что и выше. На рис.5 представлены зависимости температур электронов и решетки от времени. Они качественно подобны приведенным на рис.3. Однако, поскольку частота излучения  $\text{CO}_2$ -лазера примерно в восемь раз меньше частоты излучения лазера на хром-форстерите, отношение  $\sqrt{v v_\lambda}/\omega$  в процессе нагрева электронов достигает значений, больших единицы (рис.5). При максимальном нагреве  $\sqrt{v v_\lambda}/\omega \simeq 4$ . При  $\sqrt{v v_\lambda} \gtrsim \omega$  приближенные формулы (19), (20) неприменимы. Неприменимы и формулы Френеля, т. к. среда неоднородна. В связи с этим на рис.6 приведены лишь результаты численных расчетов при  $a = 1$  и  $b = 1, 1.5$  и 2. Величина  $a$  определена в [12] исходя из данных по поглощению излучения в золоте [4] с большей точностью, чем  $b$ , поэтому расчеты выполнены при  $a = 1$ . Согласно рис.6 коэффициент поглощения тем больше, чем больше параметр  $b$ . Зависимость  $A_p$  от  $b$  проявляется наиболее сильно на относительно больших временах, когда температура электронов уменьшается из-за выноса тепла из скин-слоя. Напротив, на малых временах при

изменениях  $b$  в два раза  $A_p$  изменяется слабо. В частности, соответствующие  $b = 1$  и 2 максимальные значения  $A_p$  различаются лишь на 20%. Относительные изменения фазы  $\Delta\phi(t)$  более чувствительны к изменениям  $b$ . Из рис.6 видно, что увеличение  $b$  в два раза сопровождается увеличением  $\Delta\phi$  в максимуме примерно в 2.5 раза. Поэтому, измеряя  $\Delta\phi$ , можно определять  $b$  с относительно неплохой точностью при условии наличия достоверных данных об остальных величинах. Параметр  $a$ , как и в работе [12], проще определить из измерений  $A_p$ . При этом, естественно, описание  $A_p$  и  $\Delta\phi$  должно базироваться на предложенном выше описании структуры поля в скин-слое.

## 6. Заключение

Таким образом, нами продемонстрирована необходимость последовательного описания распределения поля в скин-слое при изучении отражения и поглощения излучения металлом, электроны которого нагреваются неоднородно при поглощении излучения фемтосекундного лазерного импульса. Возникающая при быстром нагреве металла неоднородность диэлектрической проницаемости приводит к существенному изменению как коэффициента поглощения, так и сдвига фазы отраженной волны. При относительно небольшом нагреве электронов предложенное ранее в работе [9] приближенное аналитическое описание оптических свойств неравновесного металла согласуется с более точным численным расчетом. Если же нагрев электронов приводит к сильной неоднородности диэлектрической проницаемости, то при описании оптических свойств неравновесного металла возникает необходимость в проведении последовательных численных расчетов поля, а также температур электронов и решетки.

Работа выполнена при поддержке РФФИ (грант № 10-02-01050).

- Papadogiannis N.A., Moustazis S.D. *Opt. Commun.*, **137**, 174 (1997).
- Hohlfeld J., Wellershoff S.-S., Güdde J., Conrad U., Jähne V., Matthias E. *Chem. Phys.*, **251**, 237 (2000).
- Guo C., Taylor A.J. *Phys. Rev. B*, **62**, R11921 (2000).
- Guo C., Rodrigues G., Taylor A.J. *Phys. Rev. Lett.*, **86**, 1638 (2001).
- Yoneda H., Morikami H., Ueda K., More R.M. *Phys. Rev. Lett.*, **91**, 075004 (2003).
- Fisher D., Fraenkel M., Henis Z., Moshe E., Elieser S. *Phys. Rev. E*, **65**, 016409 (2001).
- Борн М., Вольф Э. *Основы оптики* (М.: Наука, 1970).
- Kanavin A.P., Mishchik K.N., Uryupin S.A. *J. Rus. Laser Res.*, **29**, 123 (2008).
- Канавин А.П., Мищик К.Н., Урюпин С.А. *Квантовая электроника*, **39**, 839 (2009).
- Bezhanov S.G., Kanavin A.P., Uryupin S.A. *J. Rus. Laser Res.*, **31**, 501 (2010).
- Абрикосов А.А. *Основы теории металлов* (М.: Наука, 1987).
- Исаков В.А., Канавин А.П., Урюпин С.А. *Квантовая электроника*, **36**, 928 (2006).
- Гинзбург В.Л., Шабанский В.П. *ДАН СССР*, **100**, 445 (1955).
- McKay J.A., Rayne J.A. *Phys. Rev. B*, **13**, 673 (1976).
- Johnson P.B., Christy R.W. *Phys. Rev. B*, **6**, 4370 (1972).
- Киттель Ч. *Введение в физику твердого тела* (М.: Наука, 1978).
- Физические величины. Справочник*. Под ред. И.С.Григорьева, Е.З.Мейлихова (М.: Энергоатомиздат, 1991).
- Физическая энциклопедия*. Под ред. А.М.Прохорова (М.: Сов. энциклопедия, 1990, т. 2).
- Groeneveld R.H.M., Sprik R., Lagendijk A. *Phys. Rev. B*, **45**, 5079 (1992).